



Kolloquium "Technische Kybernetik"
Stuttgart, 28. April 2011

Regeln, Steuern, Optimieren: Kompakte Modelle für komplexe Systeme

Peter Benner

Max-Planck-Institut für Dynamik komplexer technischer Systeme
Computational Methods in Systems and Control Theory



Inhalt



- 1 Optimale Steuerung
- 2 Regelung
- 3 Beispiele
- 4 Modellreduktion als Schlüsseltechnologie
- 5 Modellreduktion für lineare Systeme
- 6 Ansätze zur nichtlinearen Modellreduktion
- 7 Ausblick

Optimale Steuerung



Optimale Steuerung

dient der **Optimierung dynamischer Prozesse**,

die durch gewöhnliche oder partielle Differentialgleichungen beschrieben werden,

wobei ein **Kostenfunktional** minimiert wird

(z.B. Energiekosten, Abweichung von vorgegebener Route/Bahnkurve \equiv Trajektorie),

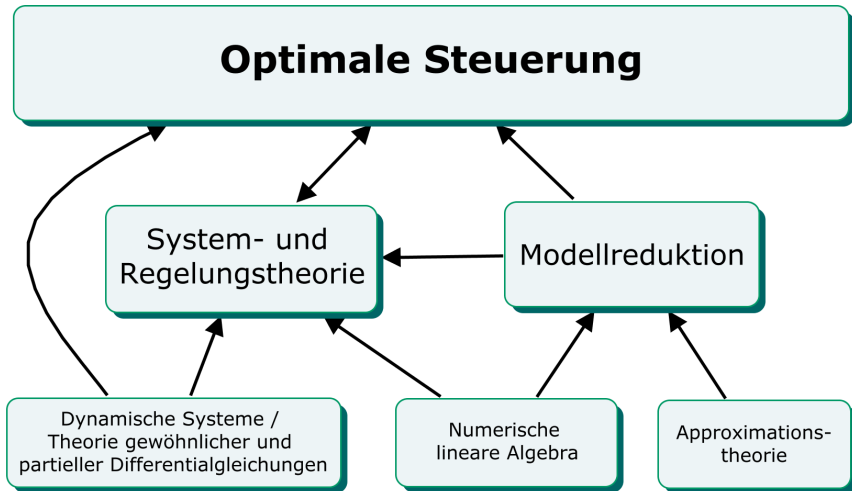
so dass ein vorgegebenes Ziel

in einer bestimmten oder **minimaler Zeit**

erreicht wird,

unter Einhaltung von Grenzwerten für die Zustandsgrößen bzw.
von Beschränkungen der Steuergrößen.

Optimale Steuerung



Optimale Steuerung —

Ein **großer** Schritt für die Mathematik... (historische Aufarbeitung: [Pesch/Plail 2009])



Das Pontryaginsche Minimumprinzip

[BOLTYANSKII/GAMKRELIDZE/PONTRYAGIN 1960]

Es sei $(x^*, u^*) : [0, T] \rightarrow \mathbb{R}^n \times U$ eine optimale Lösung des Optimalsteuerungsproblems

$$\text{Minimiere } F(x, u) = g(x(T)) + \int_0^T f_0(t, x(t), u(t)) dt$$

$$\text{unter } \dot{x} = f(t, x, u) \quad \text{für } t \in [0, T],$$

$$x(0) = x_0, \quad \psi(x(T)) = 0,$$

$$u(t) \in U, \quad U \subset \mathbb{R}^m \text{ nichtleer, konvex, abgeschlossen,}$$

wobei die Matrix $\psi_x(x^*(T))$ vollen Rang habe. Weiterhin sei die zugehörige **Hamilton-Funktion**

$$H(t, x, \lambda, u) := \lambda_0 f_0(t, x, u) + \langle \lambda, f(t, x, u) \rangle = \lambda_0 f_0(t, x, u) + \lambda^\top f(t, x, u).$$

Dann existieren $\lambda_0 \geq 0$ und eine stetige und stückweise stetig differenzierbare Funktion $\lambda : [0, T] \rightarrow \mathbb{R}^n$ und ein Vektor $\nu \in \mathbb{R}^r$ mit $(\lambda_0, \lambda(t), \nu) \neq 0$ für alle $t \in [0, T]$, sodass die folgenden Aussagen gelten:

- (i) An allen Stetigkeitsstellen $t \in [0, T]$ von $u^*(\cdot)$ gilt die **Minimumbedingung**

$$H(t, x^*(t), \lambda(t), u^*(t)) = \min_{u \in U} H(t, x^*(t), \lambda(t), u).$$

- (ii) An allen Stetigkeitsstellen $t \in [0, T]$ von $u^*(\cdot)$ gilt die **adjungierte Differentialgleichung**

$$\dot{\lambda}(t)^\top = -H_x(t, x^*(t), \lambda(t), u^*(t)).$$

- (iii) Im Endzeitpunkt T gilt die **Transversalitätsbedingung**

$$\lambda(T)^\top = \lambda_0 g_x(x^*(T)) + \nu^\top \psi_x(x^*(T)).$$

- (iv) Im Falle freier Endzeit gilt für die optimale Endzeit T^*

$$H(T^*, x^*(T^*), \lambda(T^*), u^*(T^*)) = 0.$$

- (v) Für autonome Systeme (also $H(t, x, \lambda, u) \equiv H(x, \lambda, u)$) gilt außerdem

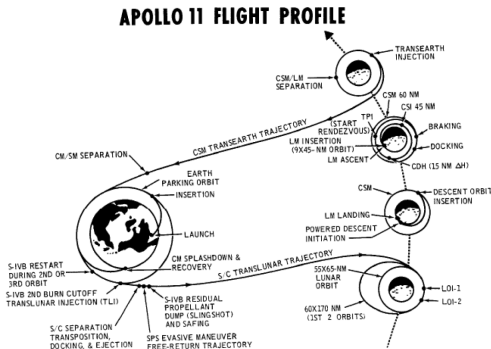
$$H(x^*(t), \lambda(t), u^*(t)) = \text{const in } [0, T].$$

Optimale Steuerung

... ein großer Sprung für die Menschheit!

Neil Alden Armstrong, 21. Juli 1968:

"That's one small step for man ...
one ... giant leap for mankind!"



Bildnachweise:

Mitte
Li./re., oben
Li./re., unten

Apollo 11 Mission Operations report, http://history.nasa.gov/alsj/a11/A11_MissionOpReport.pdf
http://de.wikipedia.org/wiki/Apollo_11,
 NASA photo IDs AS11-44-6552, S69-42583.

Regelung

Optimale Steuerung in der Praxis



Wichtige Beobachtung

Optimierte Lösungstrajektorie $x_*(t; u_*)$ und vorberechnete Steuerung $u_*(t)$ können in der Realität nicht eingehalten werden wegen

- Modellierungsfehlern bzw. nicht modellierter Dynamik,
- Modellunsicherheiten,
- äußeren Störungen,
- Messfehlern und -ungenauigkeiten.

Konsequenz: Benötigte Regelung ("Feedback")

$$u(t) = u_*(t) + U(t, x(t) - x_*(t)).$$

Regelung

Optimale Steuerung in der Praxis



Wichtige Beobachtung

Optimierte Lösungstrajektorie $x_*(t; u_*)$ und vorberechnete Steuerung $u_*(t)$ können in der Realität nicht eingehalten werden wegen

- Modellierungsfehlern bzw. nicht modellierter Dynamik,
- Modellunsicherheiten,
- äußeren Störungen,
- Messfehlern und -ungenauigkeiten.

Konsequenz: Benötigte Regelung ("Feedback")

$$u(t) = u_*(t) + U(t, x(t) - x_*(t)).$$

Regelung

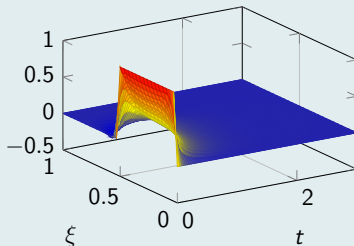
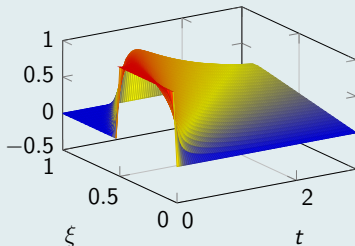
Optimale Steuerung in der Praxis



Beispiel: Optimale Steuerung eines einfachen Strömungsmodells

Burgersgleichung:

$$\begin{aligned}\partial_t x(t, \xi) &= \nu \partial_{\xi\xi} x(t, \xi) - x(t, \xi) \partial_{\xi} x(t, \xi) + B(\xi)u(t) + F(\xi)v(t), \\ x(t, 0) &= x(t, 1) = 0, \quad x(0, \xi) = x_0(\xi) + \eta(\xi), \quad \xi \in (0, 1), \\ y(t, \xi) &= Cx(t, \xi) + w(t, \xi).\end{aligned}$$



Gefördert durch DFG Projekt BE3715/1-1 *Numerical Solution of Optimal Control Problems with Instationary Diffusion-Convection and Diffusion-Reaction Equations.*

Regelung

Optimale Steuerung in der Praxis

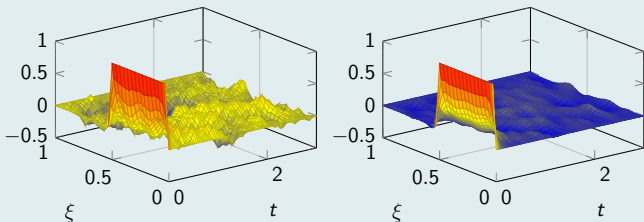


Beispiel: Optimale Steuerung eines einfachen Strömungsmodells

Burgersgleichung:

$$\begin{aligned}\partial_t x(t, \xi) &= \nu \partial_{\xi\xi} x(t, \xi) - x(t, \xi) \partial_{\xi} x(t, \xi) + B(\xi)u(t) + F(\xi)v(t), \\ x(t, 0) &= x(t, 1) = 0, \quad x(0, \xi) = x_0(\xi) + \eta(\xi), \quad \xi \in (0, 1), \\ y(t, \xi) &= C x(t, \xi) + w(t, \xi).\end{aligned}$$

Nichtlineare Regelung (hier: MPC-LQG), nur Störungen am Eingang:



Reduktion des Folgefehlers $\int_0^T \|x(t) - x_*(t)\|_2^2 dt$ um Faktor > 10 .

[BENNER/GÖRNER, PAMM 2006]; [BENNER/GÖRNER/SAAK, Springer LNCSE 2006].

Gefördert durch DFG Projekt BE3715/1-1 *Numerical Solution of Optimal Control Problems with Instationary Diffusion-Convection and Diffusion-Reaction Equations.*

Regelung

Optimale Steuerung in der Praxis

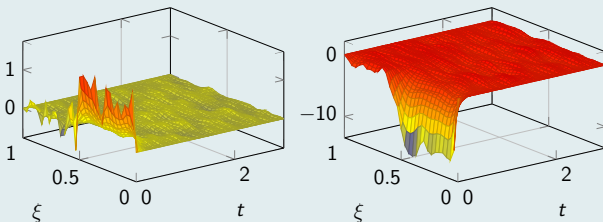


Beispiel: Optimale Steuerung eines einfachen Strömungsmodells

Burgersgleichung:

$$\begin{aligned}\partial_t x(t, \xi) &= \nu \partial_{\xi\xi} x(t, \xi) - x(t, \xi) \partial_{\xi} x(t, \xi) + B(\xi)u(t) + F(\xi)v(t), \\ x(t, 0) &= x(t, 1) = 0, \quad x(0, \xi) = x_0(\xi) + \eta(\xi), \quad \xi \in (0, 1), \\ y(t, \xi) &= C x(t, \xi) + w(t, \xi).\end{aligned}$$

Nichtlineare Regelung (hier: MPC-LQG), Zustand und Steuerung:



Reduktion des Folgefehlers $\int_0^T \|x(t) - x_*(t)\|_2^2 dt$ um Faktor > 10 .

[BENNER/GÖRNER, PAMM 2006]; [BENNER/GÖRNER/SAAK, Springer LNCSE 2006].

Gefördert durch DFG Projekt BE3715/1-1 *Numerical Solution of Optimal Control Problems with Instationary Diffusion-Convection and Diffusion-Reaction Equations.*



Beispiele aus Projekten

Optimale Abkühlung von Stahlprofilen

- **Mathematisches Modell:** Randsteuerung für nichtlineare 2D Wärmeleitung,

$$\begin{aligned}
 c(\Theta)\rho(\Theta)\partial_t\Theta &= \nabla\cdot(\lambda(\Theta)\nabla\Theta) \text{ in } [0, t_f] \times \Omega, \\
 \lambda(\Theta)\partial_\nu\Theta &= \alpha(\Theta - \Theta_{\text{ext}}) + \beta(\Theta^4 - \Theta_{\text{ext}}^4) \\
 &\quad \text{auf } \Gamma_k, \quad k = 1, \dots, 7, \\
 \partial_n\Theta &= 0 \quad \text{auf } \Gamma_8.
 \end{aligned}$$

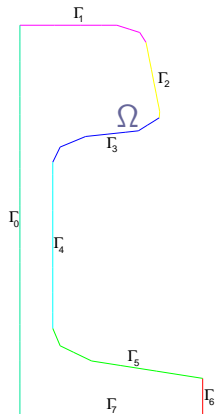
- λ, c, ρ : linear-affine Funktionen, gültig für **Austenit-Phase**; Linearisierung durch Mittelwertbildung.
- FE-Diskretisierung \rightsquigarrow
Modellhierarchie: $n = 1357, 5177, 20209, 79841$.

Ziel:

Schnelle Kühlung (höhere Produktionsrate, **Vermeidung der Bildung von Perlit**) mit beschränkten Temperaturgradienten.

Ansatz: Adaptive LQR Regelung.

Gefördert durch DFG Projekt BE3715/1-1 *Numerical Solution of Optimal Control Problems with Instationary Diffusion-Convection and Diffusion-Reaction Equations.*



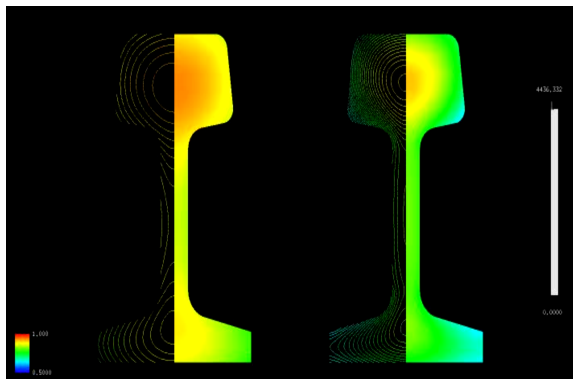
Beispiele aus Projekten

Optimale Abkühlung von Stahlprofilen



ungesteuert

gesteuert



[BENNER/SAAK, PAMM 2004/2007]

Gefördert durch DFG Projekt BE3715/1-1 *Numerical Solution of Optimal Control Problems with Instationary Diffusion-Convection and Diffusion-Reaction Equations.*



Beispiele aus Projekten

Modellprädiktive Regelung eines 3D Reaktions-Diffusions-Prozesses

Modell eines chemischen oder biologischen Reaktions-Diffusions-Prozesses, hier 3 Substanzen oder Spezies c_i , $i = 1, 2, 3$ (nur Vorwärtsreaktion: $S_1 + S_2 \rightarrow S_3$; PDE für S_3 kann unabhängig gelöst werden): [GRIESSE/VOLKWEIN '05]

Gekoppeltes System von Reaktions-Diffusions-Gleichungen:

$$\partial_t c_i(\xi, t) = D_i \Delta c_i(\xi, t) - k c_1(\xi, t) c_2(\xi, t), \quad i = 1, 2 \text{ on } \Omega \times (0, T).$$

Randbedingungen:

$$\begin{aligned} \frac{\partial}{\partial n} c_1(\xi, t) &= 0 \text{ auf } \delta\Omega \times (0, T), \\ \frac{\partial}{\partial n} c_2(\xi, t) &= \begin{cases} 0 & \text{auf } (\delta\Omega \setminus \Omega_u) \times (0, T), \\ \alpha(\xi, t) u(t) & \text{auf } \Omega_u \times (0, T). \end{cases} \end{aligned}$$

Anfangsbedingungen: $c_1(\xi, 0) = c_{1,0}(\xi)$, $c_2(\xi, 0) = c_{2,0}(\xi)$.

Ziel: Vollständige Reaktion von S_1 in gegebener Zeit bei beschränkter S_2 -Zufuhr.

Gefördert durch DFG Projekt BE3715/1-1 *Numerical Solution of Optimal Control Problems with Instationary Diffusion-Convection and Diffusion-Reaction Equations.*

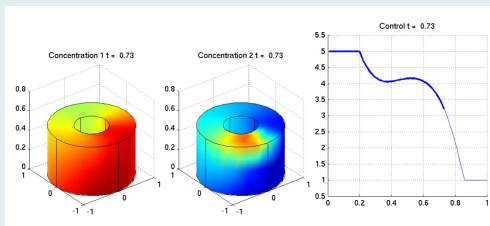
Beispiele aus Projekten



Modellprädiktive Regelung eines 3D Reaktions-Diffusions-Prozesses

- Vorberechnete optimierte Steuerung (primal-duale Aktive-Mengen-Methode [GRIESSE/VOLKWEIN '05]); Störung des Modells und der Anfangsbedingungen \rightsquigarrow **optimierte Trajektorie (Produktionsrate) wird nicht erreicht.**
- Nichtlineare Regelung (MPC-LQG) [ITO/KUNISCH '03/06, BENNER/HEIN '09/10].

Ergebnis



[BENNER/HEIN, PAMM 2009]

Gefördert durch DFG Projekt BE3715/1-1 *Numerical Solution of Optimal Control Problems with Instationary Diffusion-Convection and Diffusion-Reaction Equations.*

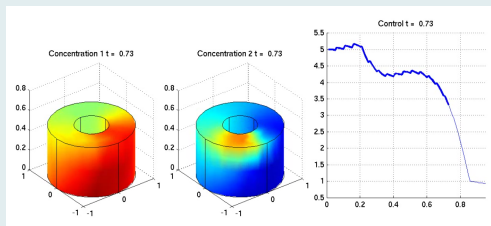
Beispiele aus Projekten



Modellprädiktive Regelung eines 3D Reaktions-Diffusions-Prozesses

- Vorberechnete optimierte Steuerung (primal-duale Aktive-Mengen-Methode [GRIESSE/VOLKWEIN '05]); Störung des Modells und der Anfangsbedingungen \rightsquigarrow **optimierte Trajektorie (Produktionsrate) wird nicht erreicht.**
- Nichtlineare Regelung (MPC-LQG) [ITO/KUNISCH '03/06, BENNER/HEIN '09/10].

Ergebnis



[BENNER/HEIN, PAMM 2009]

Gefördert durch DFG Projekt BE3715/1-1 *Numerical Solution of Optimal Control Problems with Instationary Diffusion-Convection and Diffusion-Reaction Equations.*



Beispiele aus Projekten

Stabilisierung von (Mehrfeld-)strömungen: Kármánsche Wirbelstraße

Ziel:

Stabilisierung einer Strömung (mit Geschwindigkeitsfeld v und Druck χ), gegeben durch **Navier-Stokes Gleichungen**

$$\partial_t v + v \cdot \nabla v - \frac{1}{Re} \Delta v + \nabla \chi = f \quad (1a)$$

$$\operatorname{div} v = 0, \quad (1b)$$

definiert auf $Q_\infty := \Omega \times (0, \infty)$, $\Omega \subseteq \mathbb{R}^d$, $d = 2, 3$ mit glattem Rand $\Gamma := \partial\Omega$ und Rand-/Anfangsbedingungen

$$\begin{aligned} v &= g \quad \text{on } \Sigma_\infty := \Gamma \times (0, \infty), \\ v(0) &= w + z(0) \quad (w = \text{geg. Strömungsprofil}). \end{aligned}$$

Gefördert durch DFG SPP1253 Projekt BE2174/8-1 *Optimal Control-Based Feedback Stabilization of Multi-Field Flow Problems*.

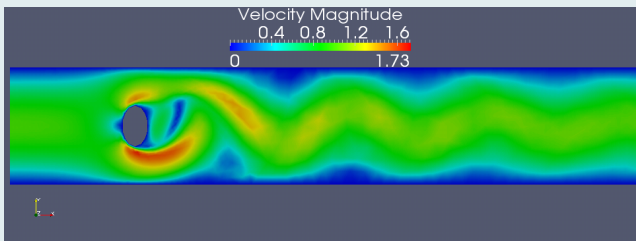
Beispiele aus Projekten



Stabilisierung von (Mehrfeld-)strömungen: Kármánsche Wirbelstraße

Kármánsche Wirbelstraße

- $Re = 300$.
- Unterdrücke Wirbelbildung durch Einblasen am oberen Zylinderrand.
- Proportionale Zustandsrückführung.



[BÄNSCH/BENNER '10], Rechnungen, Filme: Heiko Weichelt.

Gefördert durch DFG SPP1253 Projekt BE2174/8-1 *Optimal Control-Based Feedback Stabilization of Multi-Field Flow Problems*.

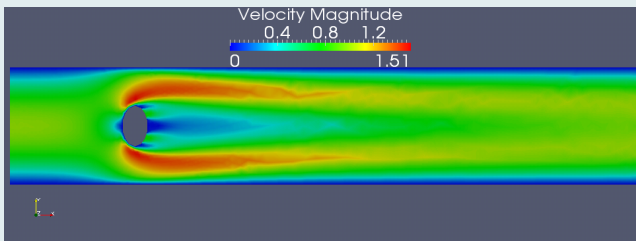
Beispiele aus Projekten



Stabilisierung von (Mehrfeld-)strömungen: Kármánsche Wirbelstraße

Kármánsche Wirbelstraße

- $Re = 300$.
- Unterdrücke Wirbelbildung durch Einblasen am oberen Zylinderrand.
- Proportionale Zustandsrückführung.



[BÄNSCH/BENNER '10], Rechnungen, Filme: Heiko Weichelt.

Gefördert durch DFG SPP1253 Projekt BE2174/8-1 *Optimal Control-Based Feedback Stabilization of Multi-Field Flow Problems*.

Beispiele aus Projekten



Stabilisierung von Mehrfeldströmungen: Passiver Transport reaktiver Spezies

Ziel: Reduziere Konzentration einfließender Substanz auf geg. Niveau durch instantane Reaktion.

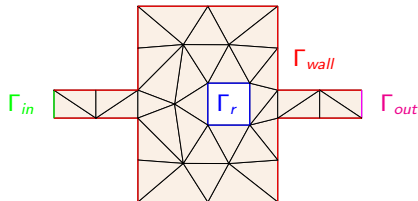
Modellgleichungen:

$$\partial_t \mathbf{v} - \frac{1}{Re} \Delta \mathbf{v} + \mathbf{v} \cdot \nabla \mathbf{v} + \nabla p = \mathbf{f}$$

$$\operatorname{div} \mathbf{v} = 0$$

$$\partial_t \mathbf{c} + \mathbf{v} \cdot \nabla \mathbf{c} - \frac{1}{Re \cdot Sc} \Delta \mathbf{c} = 0$$

Gebiet:



Gefördert durch DFG SPP1253 Projekt *Optimal Control-Based Feedback Stabilization of Multi-Field Flow Problems*.



Beispiele aus Projekten

Stabilisierung von Mehrfeldströmungen: Passiver Transport reaktiver Spezies

Ziel: Reduziere Konzentration einfließender Substanz auf geg. Niveau durch instantane Reaktion.

Modellgleichungen:

$$\partial_t \mathbf{v} - \frac{1}{Re} \Delta \mathbf{v} + \mathbf{v} \cdot \nabla \mathbf{v} + \nabla p = \mathbf{f}$$

$$\operatorname{div} \mathbf{v} = 0$$

$$\partial_t \mathbf{c} + \mathbf{v} \cdot \nabla \mathbf{c} - \frac{1}{Re \cdot Sc} \Delta \mathbf{c} = 0$$

Randbedingungen:

$$\mathbf{v} = \mathbf{v}_0$$

$$\mathbf{c} = \mathbf{c}_0 = \text{const}$$

$$\text{on } \Gamma_{in}$$

$$\mathbf{v} = 0$$

$$\partial_\nu \mathbf{c} = 0$$

$$\text{on } \Gamma_{wall}$$

$$\mathbf{v} = 0$$

$$\mathbf{c} = 0$$

$$\text{on } \Gamma_r,$$

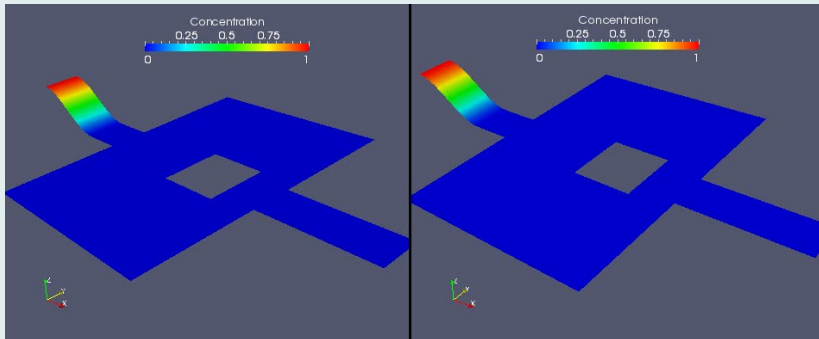
Gefördert durch DFG SPP1253 Projekt *Optimal Control-Based Feedback Stabilization of Multi-Field Flow Problems*.

Beispiele aus Projekten



Stabilisierung von Mehrfeldströmungen: Passiver Transport reaktiver Spezies

Folgeregung



keine Regelung

stückweise konstantes Feedback

[BÄNSCH/BENNER/SAAK/SCHNEIDER/WEICHELT '0?]

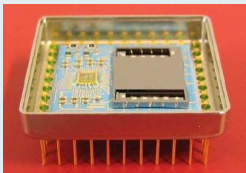
Gefördert durch DFG SPP1253 Projekt *Optimal Control-Based Feedback Stabilization of Multi-Field Flow Problems*.



Modellreduktion als Schlüsseltechnologie

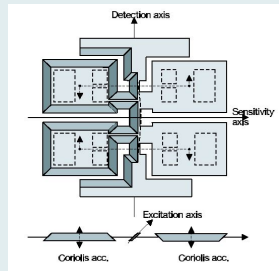
Beispiel: Designoptimierung für Mikrosysteme

Mikrogyroskop (butterfly gyro)



- Anregung der Elektroden durch angelegte Spannung lässt Flügel vibrieren, durch Coriolis-Kraft erzeugte Rotation liefert Sensordaten.
- FE-Modell 2. Ordnung:
 $N = 17.361 \rightsquigarrow n = 34.722, m = 1, p = 12.$
- Sensor zur Positionsbestimmung aus Beschleunigung und Drehung.

- Anwendung: Inertialnavigation (Trägheitsnavigation)



Quelle: The Oberwolfach Benchmark Collection <http://www.imtek.de/simulation/benchmark>

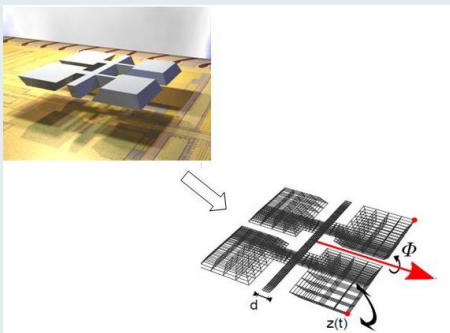
Modellreduktion als Schlüsseltechnologie



Beispiel: Designoptimierung für Mikrosysteme

Mikrogyroskop (butterfly gyro)

Parametrisches FE Modell: $M(d)\ddot{x}(t) + D(\theta, \alpha, \beta)\dot{x}(t) + T(d)x(t) = Bu(t)$.



[FENG/BENNER/KORVINK '10]

Gefördert durch DFG Projekt BE2174/7-1 *Automatic, Parameter-Preserving Model Reduction for Applications in Microsystems Technology* mit IMTEK, Freiburg.

Modellreduktion als Schlüsseltechnologie



Beispiel: Designoptimierung für Mikrosysteme

Mikrogyroskop (butterfly gyro)

Parametrisches FE Modell:

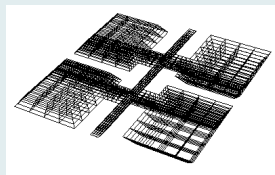
$$M(d)\ddot{x}(t) + D(\theta, \alpha, \beta)\dot{x}(t) + T(d)x(t) = Bu(t),$$

wobei

$$M(d) = M_1 + dM_2,$$

$$D(\theta, \alpha, \beta) = \theta(D_1 + dD_2) + \alpha M(d) + \beta T(d),$$

$$T(d) = T_1 + \frac{1}{d}T_2 + dT_3,$$



mit

- Breite des Trägers: d ,
- Winkelgeschwindigkeit: θ ,
- Rayleigh Dämpfungsparameter: α, β .

[FENG/BENNER/KORVINK '10]

Gefördert durch DFG Projekt BE2174/7-1 *Automatic, Parameter-Preserving Model Reduction for Applications in Microsystems Technology* mit IMTEK, Freiburg.

Modellreduktion als Schlüsseltechnologie

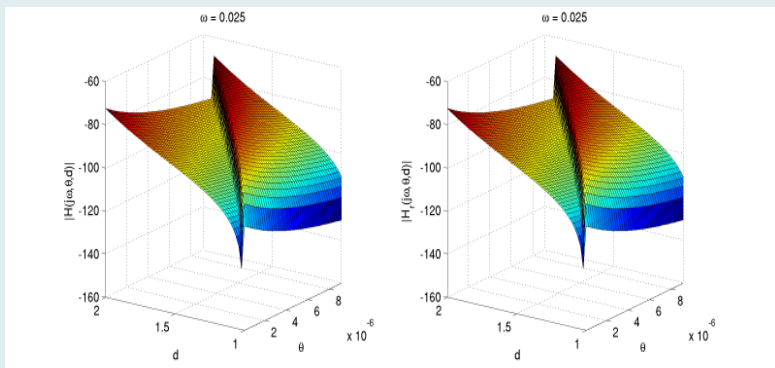


Beispiel: Designoptimierung für Mikrosysteme

Mikrogyroskop (butterfly gyro)

Original. . .

und Fälschung (reduziertes Modell).



Gefördert durch DFG Projekt BE2174/7-1 *Automatic, Parameter-Preserving Model Reduction for Applications in Microsystems Technology* mit IMTEK, Freiburg.

Modellreduktion als Schlüsseltechnologie



- Die Komplexität der Computersimulation und, insbesondere, des Steuerungs-/Reglerentwurfs sowie der Optimierung wächst rapide durch
 - Multiphysik Anwendungen (z.B. MEMS),
 - Parameterunsicherheiten,
 - Netzwerkstrukturen (z.B. Nanoelektronik, biochemische (metabolische) Netzwerke),
 - komplizierte 3D Geometrien (z.B. Werkzeugmaschinen).
- Fluch der Dimensionalität:
Wachsende Leistungsfähigkeit der Computertechnik kann wachsende Modellkomplexität nicht kompensieren!
- Benötige reduzierte Modelle!

Modellreduktion als Schlüsseltechnologie



- Die Komplexität der Computersimulation und, insbesondere, des Steuerungs-/Reglerentwurfs sowie der Optimierung wächst rapide durch
 - Multiphysik Anwendungen (z.B. MEMS),
 - Parameterunsicherheiten,
 - Netzwerkstrukturen (z.B. Nanoelektronik, biochemische (metabolische) Netzwerke),
 - komplizierte 3D Geometrien (z.B. Werkzeugmaschinen).
- **Fluch der Dimensionalität:**
Wachsende Leistungsfähigkeit der Computertechnik kann wachsende Modellkomplexität nicht kompensieren!
- Benötige reduzierte Modelle!

Modellreduktion als Schlüsseltechnologie



Beispiel: Algorithmische vs. Hardware Beschleunigung

- Parameterstudien müssen den Ingenieuren auf ihren Desktopcomputern auf täglicher Basis zur Verfügung stehen.
- Im Mikroyroskop-Beispiel konnte die Parameterstudie
von ca **3 Tagen** auf **1 Stunde**

reduziert werden mithilfe einer neuen mathematischen Methode.

⇒ *Beschleunigungsfaktor* ≈ 72 .

Anderes Beispiel (**Anemometer**): Reduktion von über 11 Tagen auf ca. 90sec. \rightsquigarrow 10.500fache Beschleunigung!

- Da Prozessortakt limitiert ist, benötigt eine entsprechende Beschleunigung durch **Hardware** Mehrkern-Technologie.
- Bei idealem Speed-up: Benötige \approx **288 (21.000) Kerne!**

Modellreduktion als Schlüsseltechnologie



- Die Komplexität der Computersimulation und, insbesondere, des Steuerungs-/Reglerentwurfs sowie der Optimierung wächst rapide durch
 - Multiphysik Anwendungen (z.B. MEMS),
 - Parameterunsicherheiten,
 - Netzwerkstrukturen (z.B. Nanoelektronik, biochemische (metabolische) Netzwerke),
 - komplizierte 3D Geometrien (z.B. Werkzeugmaschinen).
- Fluch der Dimensionalität:
Wachsende Leistungsfähigkeit der Computertechnik kann wachsende Modellkomplexität nicht kompensieren!
- Benötige reduzierte Modelle!

Modellreduktion als Schlüsseltechnologie



- Die Komplexität der Computersimulation und, insbesondere, des Steuerungs-/Reglerentwurfs sowie der Optimierung wächst rapide durch
 - Multiphysik Anwendungen (z.B. MEMS),
 - Parameterunsicherheiten,
 - Netzwerkstrukturen (z.B. Nanoelektronik, biochemische (metabolische) Netzwerke),
 - komplizierte 3D Geometrien (z.B. Werkzeugmaschinen).
- Fluch der Dimensionalität:
Wachsende Leistungsfähigkeit der Computertechnik kann wachsende Modellkomplexität nicht kompensieren!
- Benötige reduzierte Modelle!



Schlüsseltechnologie: Systemapproximation/Modellreduktion

Modellreduktion für lineare Systeme



Dynamische Systeme/DAEs

$$\Sigma : \begin{cases} \frac{d}{dt}q(x(t)) &= f(x(t), u(t)), & x(t_0) = x_0, \\ y(t) &= g(x(t), u(t)), \end{cases}$$

mit

- **Zuständen** $x(t) \in \mathbb{R}^n$,
- **Eingängen** $u(t) \in \mathbb{R}^m$,
- **Ausgängen** $y(t) \in \mathbb{R}^p$.

↔ System differentiell-algebraischer Gleichungen (DAEs).



Modellreduktion für DAEs



Originalsystem

$$\Sigma : \begin{cases} \frac{d}{dt} q(x(t)) = f(x(t), u(t)), \\ y(t) = g(x(t), u(t)). \end{cases}$$

- Zustände $x(t) \in \mathbb{R}^n$,
- Eingänge $u(t) \in \mathbb{R}^m$,
- Ausgänge $y(t) \in \mathbb{R}^p$.



Reduziertes System

$$\hat{\Sigma} : \begin{cases} \frac{d}{dt} \hat{q}(\hat{x}(t)) = \hat{f}(\hat{x}(t), u(t)), \\ \hat{y}(t) = \hat{g}(\hat{x}(t), u(t)). \end{cases}$$

- Zustände $\hat{x}(t) \in \mathbb{R}^r$, $r \ll n$
- Eingänge $u(t) \in \mathbb{R}^m$,
- Ausgänge $\hat{y}(t) \in \mathbb{R}^p$.



Ziel:

$\|y - \hat{y}\| < \text{tol} \cdot \|u\|$ für alle zulässigen Eingangssignale.

Modellreduktion für DAEs



Originalsystem

$$\Sigma : \begin{cases} \frac{d}{dt} q(x(t)) = f(x(t), u(t)), \\ y(t) = g(x(t), u(t)). \end{cases}$$

- Zustände $x(t) \in \mathbb{R}^n$,
- Eingänge $u(t) \in \mathbb{R}^m$,
- Ausgänge $y(t) \in \mathbb{R}^p$.



Reduziertes System

$$\hat{\Sigma} : \begin{cases} \frac{d}{dt} \hat{q}(x(t)) = \hat{f}(t, \hat{x}(t), u(t)), \\ \hat{y}(t) = \hat{g}(t, \hat{x}(t), u(t)). \end{cases}$$

- Zustände $\hat{x}(t) \in \mathbb{R}^r$, $r \ll n$
- Eingänge $u(t) \in \mathbb{R}^m$,
- Ausgänge $\hat{y}(t) \in \mathbb{R}^p$.



Ziel:

$\|y - \hat{y}\| < \text{tol} \cdot \|u\|$ für alle zulässigen Eingangssignale.

Ziele der Modellreduktion



- Automatische Berechnung kompakter Modelle.
- Fehler in den Ausgangssignalen des reduzierten Modells dürfen eine vorgegebene Fehlertoleranz nicht überschreiten.
Benötige berechenbare Fehlerabschätzungen!
- Erhalte physikalische Eigenschaften:
 - Stabilität
 - Passivität, d.h. es wird von Modellen passiver Bauteile keine Energie erzeugt.
- Reduzierte Modelle sollten erheblich schnellere Simulation erlauben.
- Reduzierte Modelle sollten physikalisch interpretierbar sein.

Ziele der Modellreduktion



- Automatische Berechnung kompakter Modelle.
- Fehler in den Ausgangssignalen des reduzierten Modells dürfen eine vorgegebene Fehlertoleranz nicht überschreiten.
Benötige berechenbare Fehlerabschätzungen!
- Erhalte physikalische Eigenschaften:
 - Stabilität
 - Passivität, d.h. es wird von Modellen passiver Bauteile keine Energie erzeugt.
- Reduzierte Modelle sollten erheblich schnellere Simulation erlauben.
- Reduzierte Modelle sollten physikalisch interpretierbar sein.

Ziele der Modellreduktion



- Automatische Berechnung kompakter Modelle.
- Fehler in den Ausgangssignalen des reduzierten Modells dürfen eine vorgegebene Fehlertoleranz nicht überschreiten.
Benötige berechenbare Fehlerabschätzungen!
- **Erhalte physikalische Eigenschaften:**
 - Stabilität
 - Passivität, d.h. es wird von Modellen passiver Bauteile keine Energie erzeugt.
- Reduzierte Modelle sollten erheblich schnellere Simulation erlauben.
- Reduzierte Modelle sollten physikalisch interpretierbar sein.

Ziele der Modellreduktion



- Automatische Berechnung kompakter Modelle.
- Fehler in den Ausgangssignalen des reduzierten Modells dürfen eine vorgegebene Fehlertoleranz nicht überschreiten.
Benötige berechenbare Fehlerabschätzungen!
- Erhalte physikalische Eigenschaften:
 - **Stabilität**
 - Passivität, d.h. es wird von Modellen passiver Bauteile keine Energie erzeugt.
- Reduzierte Modelle sollten erheblich schnellere Simulation erlauben.
- Reduzierte Modelle sollten physikalisch interpretierbar sein.

Ziele der Modellreduktion



- Automatische Berechnung kompakter Modelle.
- Fehler in den Ausgangssignalen des reduzierten Modells dürfen eine vorgegebene Fehlertoleranz nicht überschreiten.
Benötige berechenbare Fehlerabschätzungen!
- Erhalte physikalische Eigenschaften:
 - Stabilität
 - Passivität, d.h. es wird von Modellen passiver Bauteile keine Energie erzeugt.
- Reduzierte Modelle sollten erheblich schnellere Simulation erlauben.
- Reduzierte Modelle sollten physikalisch interpretierbar sein.

Ziele der Modellreduktion



- Automatische Berechnung kompakter Modelle.
- Fehler in den Ausgangssignalen des reduzierten Modells dürfen eine vorgegebene Fehlertoleranz nicht überschreiten.
Benötige berechenbare Fehlerabschätzungen!
- Erhalte physikalische Eigenschaften:
 - Stabilität
 - Passivität, d.h. es wird von Modellen passiver Bauteile keine Energie erzeugt.
- Reduzierte Modelle sollten erheblich schnellere Simulation erlauben.
- Reduzierte Modelle sollten physikalisch interpretierbar sein.

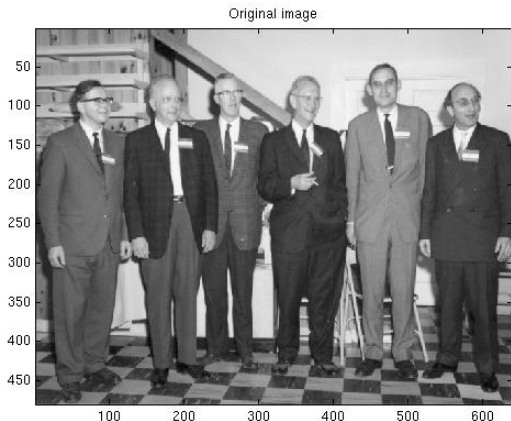
Ziele der Modellreduktion



- Automatische Berechnung kompakter Modelle.
- Fehler in den Ausgangssignalen des reduzierten Modells dürfen eine vorgegebene Fehlertoleranz nicht überschreiten.
Benötige berechenbare Fehlerabschätzungen!
- Erhalte physikalische Eigenschaften:
 - Stabilität
 - Passivität, d.h. es wird von Modellen passiver Bauteile keine Energie erzeugt.
- Reduzierte Modelle sollten erheblich schnellere Simulation erlauben.
- Reduzierte Modelle sollten physikalisch interpretierbar sein.

Modellreduktion für lineare Systeme

Grundideen für Algorithmen



Organisationskomitee Gatlinburg/Householder Meeting 1964:
*James H. Wilkinson, Wallace Givens, George Forsythe, Alston Householder,
Peter Henrici, Fritz L. Bauer.*

Modellreduktion für lineare Systeme

Grundideen für Algorithmen

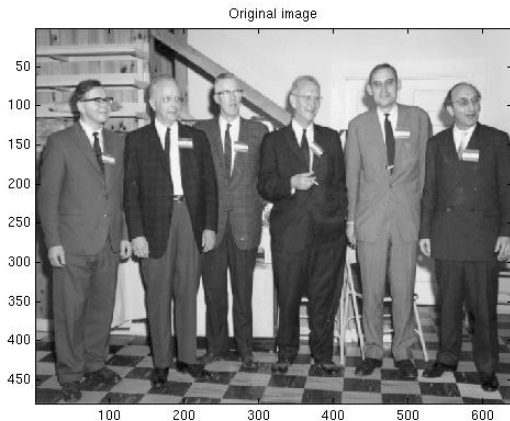


Bild = $x \cdot y$ Pixel = x Spalten (Vektoren) mit y Einträgen (Farbwerte)
= $y \times x$ Matrix.

Modellreduktion für lineare Systeme



Grundideen für Algorithmen

Satz: (Schmidt-Mirsky/Eckart-Young)

Beste Rang- r Approximation an $X \in \mathbb{R}^{y \times x}$:

$$\hat{X} = \sum_{j=1}^r \sigma_j u_j v_j^T,$$

wobei $X = U\Sigma V^T$ die **Singulärwertzerlegung (SVD)** von X ist und $U = [u_1, \dots]$, $V = [v_1, \dots]$, $\Sigma = \text{diag}(\sigma_1, \dots)$.

Der Approximationsfehler ist $\|X - \hat{X}\|_2 = \sigma_{r+1}$.

Modellreduktion für lineare Systeme



Grundideen für Algorithmen

Satz: (Schmidt-Mirsky/Eckart-Young)

Beste Rang- r Approximation an $X \in \mathbb{R}^{y \times x}$:

$$\hat{X} = \sum_{j=1}^r \sigma_j u_j v_j^T,$$

wobei $X = U \Sigma V^T$ die **Singulärwertzerlegung (SVD)** von X ist und $U = [u_1, \dots]$, $V = [v_1, \dots]$, $\Sigma = \text{diag}(\sigma_1, \dots)$.

Der Approximationsfehler ist $\|X - \hat{X}\|_2 = \sigma_{r+1}$.

Idee für Dimensionsreduktion

Statt X speichere $u_1, \dots, u_r, \sigma_1 v_1, \dots, \sigma_r v_r$.

\Rightarrow benötigter Speicherplatz = $r \cdot (x + y)$ statt $x \cdot y$.

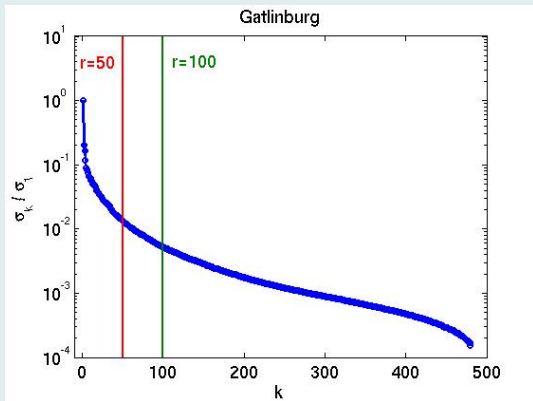
Modellreduktion für lineare Systeme



Grundideen für Algorithmen

Datenkomprimierung mit SVD funktioniert, wenn die meisten Singulärwerte sehr klein sind.

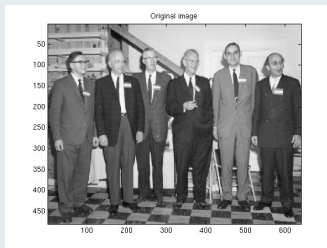
Verhalten der Singulärwerte



Beispiel: Bilddatenkompression



Beispiel: MATLAB-Bild Gatlinburg



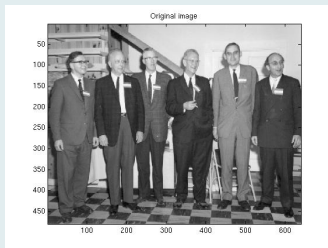
640 × 480 Pixel, \approx 1229 KB

- Rang $r = 100$, \approx 448 kb
- Rang $r = 50$, \approx 224 kb

Beispiel: Bilddatenkompression



Beispiel: MATLAB-Bild Gatlinburg



640 × 480 Pixel, ≈ 1229 KB

- Rang $r = 100$, ≈ 448 kb

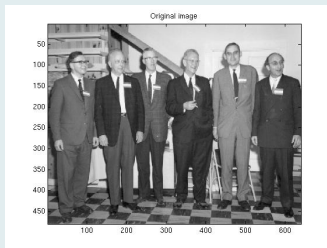


- Rang $r = 50$, ≈ 224 kb

Beispiel: Bilddatenkompression



Beispiel: MATLAB-Bild Gatlinburg



640×480 Pixel, ≈ 1229 KB

- Rang $r = 100$, ≈ 448 kb



- Rang $r = 50$, ≈ 224 kb



Modellreduktion für lineare Systeme



Lineare zeitinvariante (LTI) Systeme

$$\begin{aligned}\dot{x}(t) = f(t, x, u) &= Ax + Bu, & A \in \mathbb{R}^{n \times n}, & B \in \mathbb{R}^{n \times m}, \\ y(t) = g(t, x, u) &= Cx + Du, & C \in \mathbb{R}^{p \times n}, & D \in \mathbb{R}^{p \times m}.\end{aligned}$$

Modellreduktion für lineare Systeme



Lineare zeitinvariante (LTI) Systeme

$$\begin{aligned}\dot{x}(t) = f(t, x, u) &= Ax + Bu, & A \in \mathbb{R}^{n \times n}, & B \in \mathbb{R}^{n \times m}, \\ y(t) = g(t, x, u) &= Cx + Du, & C \in \mathbb{R}^{p \times n}, & D \in \mathbb{R}^{p \times m}.\end{aligned}$$

I/O–Abbildung im Zustandsraum ($D = 0$)

$$S : u \mapsto y, \quad y(t) = (h \star u)(t) = \int_{-\infty}^{\infty} h(t - \tau) u(\tau) d\tau$$

$$\text{mit } h(s) = \begin{cases} Ce^{A(s)}B & \text{für } s > 0, \\ 0 & \text{für } s \leq 0. \end{cases}$$

Modellreduktion für lineare Systeme



Lineare zeitinvariante (LTI) Systeme

$$\begin{aligned}\dot{x}(t) = f(t, x, u) &= Ax + Bu, & A \in \mathbb{R}^{n \times n}, & B \in \mathbb{R}^{n \times m}, \\ y(t) = g(t, x, u) &= Cx + Du, & C \in \mathbb{R}^{p \times n}, & D \in \mathbb{R}^{p \times m}.\end{aligned}$$

I/O–Abbildung im Zustandsraum ($D = 0$)

$$\mathcal{S} : u \mapsto y, \quad y(t) = (h \star u)(t) = \int_{-\infty}^{\infty} h(t - \tau) u(\tau) d\tau$$

$$\text{mit } h(s) = \begin{cases} Ce^{A(s)}B & \text{für } s > 0, \\ 0 & \text{für } s \leq 0. \end{cases}$$

Beachte: Operator \mathcal{S} ungeeignet für Approximation, Singulärwerte nicht diskret;

Modellreduktion für lineare Systeme



Lineare zeitinvariante (LTI) Systeme

$$\begin{aligned}\dot{x}(t) = f(t, x, u) &= Ax + Bu, & A \in \mathbb{R}^{n \times n}, & B \in \mathbb{R}^{n \times m}, \\ y(t) = g(t, x, u) &= Cx + Du, & C \in \mathbb{R}^{p \times n}, & D \in \mathbb{R}^{p \times m}.\end{aligned}$$

I/O–Abbildung im Zustandsraum ($D = 0$)

$$\mathcal{S} : u \mapsto y, \quad y(t) = (h \star u)(t) = \int_{-\infty}^{\infty} h(t - \tau) u(\tau) d\tau$$

$$\text{mit } h(s) = \begin{cases} Ce^{A(s)}B & \text{für } s > 0, \\ 0 & \text{für } s \leq 0. \end{cases}$$

Beachte: Operator \mathcal{S} ungeeignet für Approximation, Singulärwerte nicht diskret; für Modellreduktion verwende Hankel-Operator \mathcal{H} :

$$\mathcal{H} : u_- \mapsto y_+, \quad y_+(t) = \int_{-\infty}^0 Ce^{A(t-\tau)} Bu(\tau) d\tau \quad \text{for all } t > 0.$$

Modellreduktion für lineare Systeme



Lineare zeitinvariante (LTI) Systeme

$$\begin{aligned}\dot{x}(t) = f(t, x, u) &= Ax + Bu, & A \in \mathbb{R}^{n \times n}, & B \in \mathbb{R}^{n \times m}, \\ y(t) = g(t, x, u) &= Cx + Du, & C \in \mathbb{R}^{p \times n}, & D \in \mathbb{R}^{p \times m}.\end{aligned}$$

I/O-Abbildung im Zustandsraum ($D = 0$)

$$\mathcal{S} : u \mapsto y, \quad y(t) = (h \star u)(t) = \int_{-\infty}^{\infty} h(t - \tau) u(\tau) d\tau$$

$$\text{mit } h(s) = \begin{cases} Ce^{A(s)}B & \text{für } s > 0, \\ 0 & \text{für } s \leq 0. \end{cases}$$

Beachte: Operator \mathcal{S} ungeeignet für Approximation, Singulärwerte nicht diskret; für Modellreduktion verwende Hankel-Operator \mathcal{H} :

$$\mathcal{H} : u_- \mapsto y_+, \quad y_+(t) = \int_{-\infty}^0 Ce^{A(t-\tau)} Bu(\tau) d\tau \quad \text{for all } t > 0.$$

\mathcal{H} kompakt $\Rightarrow \mathcal{H}$ hat diskrete SVD \rightsquigarrow Hankel-Singulärwerte

Modellreduktion für lineare Systeme

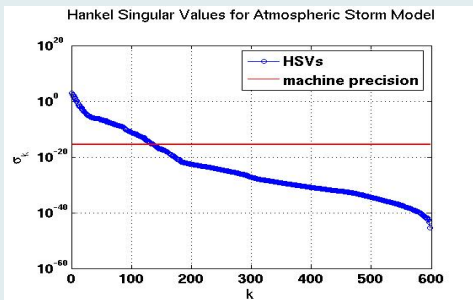


Lineare zeitinvariante (LTI) Systeme

$$\begin{aligned}\dot{x}(t) = f(t, x, u) &= Ax + Bu, & A \in \mathbb{R}^{n \times n}, & B \in \mathbb{R}^{n \times m}, \\ y(t) = g(t, x, u) &= Cx + Du, & C \in \mathbb{R}^{p \times n}, & D \in \mathbb{R}^{p \times m}.\end{aligned}$$

I/O–Abbildung im Zustandsraum ($D = 0$)

\mathcal{H} kompakt \Rightarrow
 \mathcal{H} hat diskrete SVD
 \rightsquigarrow Hankel-Singulärwerte



Modellreduktion für lineare Systeme



Lineare zeitinvariante (LTI) Systeme

$$\begin{aligned}\dot{x}(t) = f(t, x, u) &= Ax + Bu, & A \in \mathbb{R}^{n \times n}, & B \in \mathbb{R}^{n \times m}, \\ y(t) = g(t, x, u) &= Cx + Du, & C \in \mathbb{R}^{p \times n}, & D \in \mathbb{R}^{p \times m}.\end{aligned}$$

I/O-Abbildung im Zustandsraum ($D = 0$)

$$\mathcal{H} : u_- \mapsto y_+, \quad y_+(t) = \int_{-\infty}^0 Ce^{A(t-\tau)} Bu(\tau) d\tau \quad \text{for all } t > 0.$$

\mathcal{H} kompakt $\Rightarrow \mathcal{H}$ hat diskrete SVD

\Rightarrow Bestapproximationsproblem bzgl. 2-induzierter Operatornorm
([Hankel-Norm](#)) wohlgestellt.

\Rightarrow Lösung: [Adamjan-Arov-Krein \(AAK Theorie, '71/'78\)](#).

Modellreduktion für lineare Systeme



Lineare zeitinvariante (LTI) Systeme

$$\begin{aligned}\dot{x}(t) = f(t, x, u) &= Ax + Bu, & A \in \mathbb{R}^{n \times n}, & B \in \mathbb{R}^{n \times m}, \\ y(t) = g(t, x, u) &= Cx + Du, & C \in \mathbb{R}^{p \times n}, & D \in \mathbb{R}^{p \times m}.\end{aligned}$$

I/O-Abbildung im Zustandsraum ($D = 0$)

$$\mathcal{H} : u_- \mapsto y_+, \quad y_+(t) = \int_{-\infty}^0 Ce^{A(t-\tau)} Bu(\tau) d\tau \quad \text{for all } t > 0.$$

\mathcal{H} kompakt $\Rightarrow \mathcal{H}$ hat diskrete SVD

\Rightarrow Bestapproximationsproblem bzgl. 2-induzierter Operatornorm
([Hankel-Norm](#)) wohlgestellt.

\Rightarrow Lösung: [Adamjan-Arov-Krein \(AAK Theorie, '71/'78\)](#).

Aber: Numerisch nicht umsetzbar für große Systeme.

Modellreduktion basierend auf balanciertem Abschneiden



Lineare zeitinvariante (LTI) Systeme

$$\Sigma: \begin{cases} \dot{x}(t) &= Ax + Bu, & A \in \mathbb{R}^{n \times n}, & B \in \mathbb{R}^{n \times m}, \\ y(t) &= Cx + Du, & C \in \mathbb{R}^{p \times n}, & D \in \mathbb{R}^{p \times m}. \end{cases}$$

(A, B, C, D) ist eine Realisierung von Σ (nicht eindeutig).



Modellreduktion basierend auf balanciertem Abschneiden

Lineare zeitinvariante (LTI) Systeme

$$\Sigma : \begin{cases} \dot{x}(t) &= Ax + Bu, & A \in \mathbb{R}^{n \times n}, & B \in \mathbb{R}^{n \times m}, \\ y(t) &= Cx + Du, & C \in \mathbb{R}^{p \times n}, & D \in \mathbb{R}^{p \times m}. \end{cases}$$

(A, B, C, D) ist eine Realisierung von Σ (nicht eindeutig).

Modellreduktion durch Balancierung

Gegeben: Gramsche Matrizen $P, Q \in \mathbb{R}^{n \times n}$ symmetrisch, positiv definit (spd), und Transformation $T : \mathbb{R}^n \rightarrow \mathbb{R}^n$, so dass

$$TPT^T = T^{-T}QT^{-1} = \text{diag}(\sigma_1, \dots, \sigma_n), \quad \sigma_1 \geq \dots \geq \sigma_n \geq 0.$$

Balancierung von Σ bzgl. P, Q :

$$\Sigma \equiv (A, B, C, D) \mapsto (TAT^{-1}, TB, CT^{-1}, D) \equiv \Sigma.$$

Modellreduktion basierend auf balanciertem Abschneiden



Lineare zeitinvariante (LTI) Systeme

$$\Sigma : \begin{cases} \dot{x}(t) &= Ax + Bu, & A \in \mathbb{R}^{n \times n}, & B \in \mathbb{R}^{n \times m}, \\ y(t) &= Cx + Du, & C \in \mathbb{R}^{p \times n}, & D \in \mathbb{R}^{p \times m}. \end{cases}$$

(A, B, C, D) ist eine Realisierung von Σ (nicht eindeutig).

Modellreduktion durch Balancierung

Gegeben: Gramsche Matrizen $P, Q \in \mathbb{R}^{n \times n}$ symmetrisch, positiv definit (spd), und Transformation $T : \mathbb{R}^n \rightarrow \mathbb{R}^n$, so dass

$$TPT^T = T^{-T}QT^{-1} = \text{diag}(\sigma_1, \dots, \sigma_n), \quad \sigma_1 \geq \dots \geq \sigma_n \geq 0.$$

Balancierung von Σ bzgl. P, Q :

$$\Sigma \equiv (A, B, C, D) \mapsto (TAT^{-1}, TB, CT^{-1}, D) \equiv \Sigma.$$

Modellreduktion basierend auf balanciertem Abschneiden



Basis für Modellreduktionsverfahren

- Gegeben $\Sigma \equiv (A, B, C, D)$ und balancierende (bzgl. geg. P, Q spd) Transformation $T \in \mathbb{R}^{n \times n}$, berechne (nie explizit!)

$$\begin{aligned}(A, B, C, D) &\mapsto (TAT^{-1}, TB, CT^{-1}, D) \\ &= \left(\begin{bmatrix} A_{11} & A_{12} \\ A_{21} & A_{22} \end{bmatrix}, \begin{bmatrix} B_1 \\ B_2 \end{bmatrix}, \begin{bmatrix} C_1 & C_2 \end{bmatrix}, D \right)\end{aligned}$$

- Abschneiden \rightsquigarrow reduziertes Modell:

$$(\hat{A}, \hat{B}, \hat{C}, \hat{D}) = (A_{11}, B_1, C_1, D).$$

Modellreduktion basierend auf balanciertem Abschneiden



Basis für Modellreduktionsverfahren

- 1 Gegeben $\Sigma \equiv (A, B, C, D)$ und balancierende (bzgl. geg. P, Q spd) Transformation $T \in \mathbb{R}^{n \times n}$, berechne (nie explizit!)

$$\begin{aligned}(A, B, C, D) &\mapsto (TAT^{-1}, TB, CT^{-1}, D) \\ &= \left(\begin{bmatrix} A_{11} & A_{12} \\ A_{21} & A_{22} \end{bmatrix}, \begin{bmatrix} B_1 \\ B_2 \end{bmatrix}, \begin{bmatrix} C_1 & C_2 \end{bmatrix}, D \right)\end{aligned}$$

- 2 Abschneiden \rightsquigarrow reduziertes Modell:

$$(\hat{A}, \hat{B}, \hat{C}, \hat{D}) = (A_{11}, B_1, C_1, D).$$

Modellreduktion basierend auf balanciertem Abschneiden



Klassisches Balanciertes Abschneiden (BT)

MULLIS/ROBERTS '76, MOORE '81

- P/Q = Steuerbarkeits-/Beobachtbarkeits-Gramsche von $\Sigma \equiv (A, B, C, D)$.
- Für stabile Systeme lösen P, Q duale **Lyapunovgleichungen**

$$AP + PA^T + BB^T = 0, \quad A^T Q + QA + C^T C = 0.$$

- $\Lambda(PQ)^{\frac{1}{2}} = \{\sigma_1^{\text{BT}}, \dots, \sigma_n^{\text{BT}}\}$ sind Hankel-Singulärwerte (HSVs) von Σ . HSVs sind Systeminvarianten ("Energieerhaltungs"-Interpretation).
- Stabilitätserhaltend, kann auf instabile Systeme ohne rein imaginäre Pole erweitert werden [ZHOU/SALOMON/WU '99].
- Passivitätserhaltend für symmetrische, passive Systeme.
- Berechenbare Fehlerabschätzung als Nebenprodukt der Berechnung:

$$\|y - y^{\text{BT}}\|_2 \leq 2 \sum_{j=r+1}^n \sigma_j^{\text{BT}} \|u\|_2,$$

Modellreduktion basierend auf balanciertem Abschneiden



Klassisches Balanciertes Abschneiden (BT)

MULLIS/ROBERTS '76, MOORE '81

- P/Q = Steuerbarkeits-/Beobachtbarkeits-Gramsche von $\Sigma \equiv (A, B, C, D)$.
- Für stabile Systeme lösen P, Q duale **Lyapunovgleichungen**

$$AP + PA^T + BB^T = 0, \quad A^T Q + QA + C^T C = 0.$$

- $\Lambda(PQ)^{\frac{1}{2}} = \{\sigma_1^{BT}, \dots, \sigma_n^{BT}\}$ sind **Hankel-Singulärwerte (HSVs)** von Σ .
HSVs sind **Systeminvarianten** ("Energieerhaltungs"-Interpretation).
- Stabilitätserhaltend, kann auf instabile Systeme ohne rein imaginäre Pole erweitert werden [ZHOU/SALOMON/WU '99].
- Passivitätserhaltend für symmetrische, passive Systeme.
- Berechenbare Fehlerabschätzung als Nebenprodukt der Berechnung:

$$\|y - y^{BT}\|_2 \leq 2 \sum_{j=r+1}^n \sigma_j^{BT} \|u\|_2,$$



Modellreduktion basierend auf balanciertem Abschneiden

Klassisches Balanciertes Abschneiden (BT)

MULLIS/ROBERTS '76, MOORE '81

- P/Q = Steuerbarkeits-/Beobachtbarkeits-Gramsche von $\Sigma \equiv (A, B, C, D)$.
- Für stabile Systeme lösen P, Q duale **Lyapunovgleichungen**

$$AP + PA^T + BB^T = 0, \quad A^T Q + QA + C^T C = 0.$$

- $\Lambda(PQ)^{\frac{1}{2}} = \{\sigma_1^{\text{BT}}, \dots, \sigma_n^{\text{BT}}\}$ sind Hankel-Singulärwerte (HSVs) von Σ . HSVs sind Systeminvarianten ("Energieerhaltungs"-Interpretation).
- **Stabilitätserhaltend**, kann auf instabile Systeme ohne rein imaginäre Pole erweitert werden [ZHOU/SALOMON/WU '99].
- **Passivitätserhaltend** für symmetrische, passive Systeme.
- Berechenbare Fehlerabschätzung als Nebenprodukt der Berechnung:

$$\|y - y^{\text{BT}}\|_2 \leq 2 \sum_{j=r+1}^n \sigma_j^{\text{BT}} \|u\|_2,$$



Modellreduktion basierend auf balanciertem Abschneiden

Klassisches Balanciertes Abschneiden (BT)

MULLIS/ROBERTS '76, MOORE '81

- P/Q = Steuerbarkeits-/Beobachtbarkeits-Gramsche von $\Sigma \equiv (A, B, C, D)$.
- Für stabile Systeme lösen P, Q duale **Lyapunovgleichungen**

$$AP + PA^T + BB^T = 0, \quad A^T Q + QA + C^T C = 0.$$

- $\Lambda(PQ)^{\frac{1}{2}} = \{\sigma_1^{\text{BT}}, \dots, \sigma_n^{\text{BT}}\}$ sind Hankel-Singulärwerte (HSVs) von Σ . HSVs sind Systeminvarianten ("Energieerhaltungs"-Interpretation).
- Stabilitätserhaltend, kann auf instabile Systeme ohne rein imaginäre Pole erweitert werden [ZHOU/SALOMON/WU '99].
- Passivitätserhaltend für symmetrische, passive Systeme.
- **Berechenbare Fehlerabschätzung** als Nebenprodukt der Berechnung:

$$\|y - y^{\text{BT}}\|_2 \leq 2 \sum_{j=r+1}^n \sigma_j^{\text{BT}} \|u\|_2,$$

Modellreduktion basierend auf balanciertem Abschneiden



- Wahl anderer Gramscher Matrizen liefert weitere Verfahren, die für spezielle Anforderungen (z.B. Minimalphasigkeit, Passivität) geeignet sind.
- Anwendung auf Systeme mit Massematrix ($E\dot{x} = Ax + Bu$) möglich, ohne $E^{-1}A, E^{-1}B$ zu bilden!
Varianten für E singulär existieren.
- Anwendung auf Systeme 2. Ordnung (mechanische Systeme) entweder durch Linearisierung und Anwendung auf resultierendes LTI System oder direkt auf Systeme 2. Ordnung.
- Klassische Implementierungen kosten $\mathcal{O}(n^3)$ Rechenoperationen und benötigen $\mathcal{O}(n^2)$ Speicher \rightsquigarrow viel zu teuer für große Probleme mit $n \gg 1000$, insbesondere für strukturdynamische FEM-Modelle!
- Seit ca. 10 Jahren Entwicklungen in der Numerischen Linearen Algebra, die es durch Strukturausnutzung der FEM Matrizen erlauben, sehr große Lyapunovgleichungen zu lösen.
 $n = 1.000.000$ heutzutage in MATLAB möglich!
Rechenzeit $< 1h$ auf quadcore Compute-Server.

Modellreduktion basierend auf balanciertem Abschneiden



- Wahl anderer Gramscher Matrizen liefert weitere Verfahren, die für spezielle Anforderungen (z.B. Minimalphasigkeit, Passivität) geeignet sind.
- Anwendung auf Systeme mit Massematrix ($E\dot{x} = Ax + Bu$) möglich, ohne $E^{-1}A, E^{-1}B$ zu bilden!

Varianten für E singulär existieren.

- Anwendung auf Systeme 2. Ordnung (mechanische Systeme) entweder durch Linearisierung und Anwendung auf resultierendes LTI System oder direkt auf Systeme 2. Ordnung.
- Klassische Implementierungen kosten $\mathcal{O}(n^3)$ Rechenoperationen und benötigen $\mathcal{O}(n^2)$ Speicher \rightsquigarrow viel zu teuer für große Probleme mit $n \gg 1000$, insbesondere für strukturdynamische FEM-Modelle!
- Seit ca. 10 Jahren Entwicklungen in der Numerischen Linearen Algebra, die es durch Strukturausnutzung der FEM Matrizen erlauben, sehr große Lyapunovgleichungen zu lösen.

$n = 1.000.000$ heutzutage in MATLAB möglich!

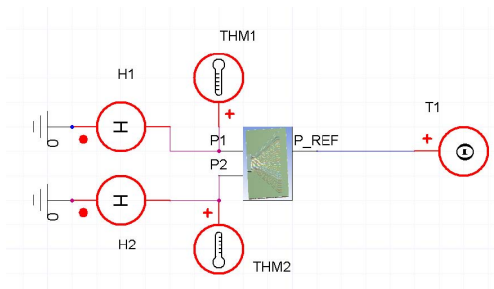
Rechenzeit $< 1h$ auf quadcore Compute-Server.

Modellreduktion basierend auf balanciertem Abschneiden



Elektro-thermische Simulation einer integrierten Schaltung [Quelle: Evgenii Rudnyi, CADFEM GmbH]

- Testschaltung in Simplorer mit 2 Transistoren.
- Konservatives thermisches Teilsystem in Simplorer:
Spannung \rightsquigarrow Temperatur, Stromstärke \rightsquigarrow Wärmefluss.
- Originalmodell: $n = 270.593$, $m = p = 2 \Rightarrow$
Rechenzeiten (CMESS auf Intel Xeon dualcore 3GHz, 1 Thread):
 - Lösung der Lyapunovgleichungen: $\approx 22min$.
 - Berechnung der red. Modelle: 44sec. ($r = 20$) bis 49sec. ($r = 70$).
 - Bode-Diagramm (MATLAB auf Intel Core i7, 2,67GHz, 12GB):
mit Originalsystem 7,5h, mit reduziertem System $< 1min$.



Modellreduktion basierend auf balanciertem Abschneiden



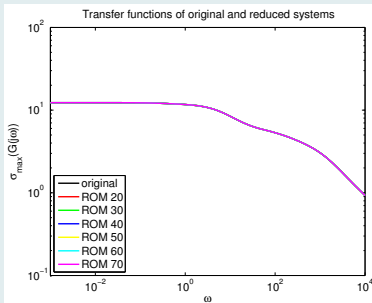
Elektro-thermische Simulation einer integrierten Schaltung [Quelle: Evgenii Rudnyi, CADFEM GmbH]

- Originalmodell: $n = 270.593$, $m = p = 2 \Rightarrow$

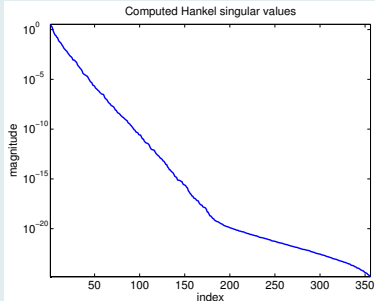
Rechenzeiten (CMESS auf Intel Xeon dualcore 3GHz, 1 Thread):

- Lösung der Lyapunovgleichungen: $\approx 22min$.
- Berechnung der red. Modelle: 44sec. ($r = 20$) bis 49sec. ($r = 70$).
- Bode-Diagramm (MATLAB auf Intel Core i7, 2,67GHz, 12GB):
mit Originalsystem 7,5h, mit reduziertem System $< 1min$.

Bode-Diagramm (Amplitude)



Hankel-Singulärwerte



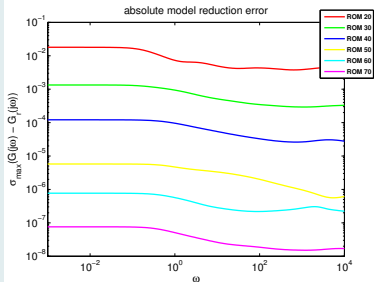
Modellreduktion basierend auf balanciertem Abschneiden



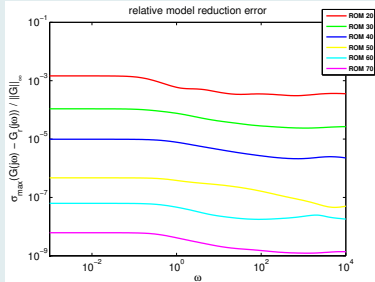
Elektro-thermische Simulation einer integrierten Schaltung [Quelle: Evgenii Rudnyi, CADFEM GmbH]

- Originalmodell: $n = 270.593$, $m = p = 2 \Rightarrow$
Rechenzeiten (CMESS auf Intel Xeon dualcore 3GHz, 1 Thread):
 - Lösung der Lyapunovgleichungen: $\approx 22min$.
 - Berechnung der red. Modelle: 44sec. ($r = 20$) bis 49sec. ($r = 70$).
 - Bode-Diagramm (MATLAB auf Intel Core i7, 2,67GHz, 12GB):
mit Originalsystem 7,5h, mit reduziertem System $< 1min$.

Absolute Fehler



Relative Fehler



Ansätze zur nichtlinearen Modellreduktion



- Viele nichtlineare Systeme lassen sich durch quadratisch-bilineare differentiell-algebraische Gleichungen (QBDAEs) der Form

$$E\dot{x} = A_1x + A_2x \otimes x + Nxu + bu,$$

$$y = cx,$$

darstellen. (Hier: $E, A_1, N \in \mathbb{R}^{n \times n}$, $A_2 \in \mathbb{R}^{n \times n^2}$, $b, c^T \in \mathbb{R}^n$.)

- Kombination quadratischer und bilinearer Regelungssysteme.
- Charakterisierung des Input-Output-Verhaltens durch verallgemeinerte Übertragungsfunktionen, z.B.

$$H_1(s) = c \underbrace{(sE - A_1)^{-1} b}_{G(s)}$$

$$H_2(s_1, s_2) = \frac{1}{2} c ((s_1 + s_2) E - A_1)^{-1} [A_2(G(s_1) \otimes G(s_2) + G(s_2) \otimes G(s_1)) + N(G(s_1) + G(s_2))].$$

Ansätze zur nichtlinearen Modellreduktion



Welche Systeme erlauben solch eine Transformation?

Satz [GU 2009]

Gegeben sei nichtlineares System Σ

$$\dot{x} = a_0x + a_1g_1(x) + \dots + a_kg_k(x) + bu,$$

wobei $g_i(x) : \mathbb{R}^n \rightarrow \mathbb{R}^n$ Verknüpfungen rationaler, logarithmischer, trigonometrischer, Exponential- und Wurzelfunktionen sind.

\implies Darstellung von Σ als quadratisch-bilineares DAE System der Dimension $N > n$ möglich.

- Transformation ist nicht eindeutig.
- Originales System wird vor der Reduktion ggf. zunächst vergrößert.
- Minimale Dimension N ist unklar.

Ansätze zur nichtlinearen Modellreduktion



Beispiel

- Einfaches zweidimensionales nichtlineares System:

$$\begin{aligned}\dot{x}_1 &= \exp(-x_2) \cdot \sqrt{x_1^2 + 1}, \\ \dot{x}_2 &= \sin x_2 + u.\end{aligned}$$

- Einführung neuer Variablen, z.B.

$$x_3 := \exp(-x_2), \quad x_4 := \sqrt{x_1^2 + 1}, \quad x_5 := \sin x_2, \quad x_6 := \cos x_2.$$

- System kann durch QBDAE der Dimension 6 repräsentiert werden:

$$\begin{aligned}\dot{x}_1 &= x_3 \cdot x_4, & \dot{x}_2 &= x_5 + u, \\ \dot{x}_3 &= -x_3 \cdot (x_5 + u), & \dot{x}_4 &= \frac{2 \cdot x_1 \cdot x_3 \cdot x_4}{2 \cdot x_4}, \\ \dot{x}_5 &= x_6 \cdot (x_5 + u), & \dot{x}_6 &= -x_5 \cdot (x_5 + u).\end{aligned}$$

Ansätze zur nichtlinearen Modellreduktion



Multimomentenabgleich für QBDAEs

- Erzeuge reduziertes Modell durch Projection:

$$\begin{aligned}\hat{E} &= Z^T E Z, & \hat{A}_1 &= Z^T A_1 Z, & \hat{N} &= Z^T N Z, \\ \hat{A}_2 &= Z^T A_2 Z \otimes Z, & \hat{b} &= Z^T b, & \hat{c} &= c Z\end{aligned}$$

- Rationale Hermite-Interpolation der Übertragungsfunktionen am Entwicklungspunkt σ durch Verwendung von Krylovräumen, z.B.

$$\begin{aligned}\text{span}\{V\} &= \mathcal{K}_6(A_\sigma E, A_\sigma b) \\ \text{span}\{W_1\} &= \mathcal{K}_3(A_{2\sigma} E, A_{2\sigma}(A_2 V_1 \otimes V_1 - N_1 V_1)) \\ \text{span}\{W_2\} &= \mathcal{K}_2(A_{2\sigma} E, A_{2\sigma}(A_2(V_2 \otimes V_1 + V_1 \otimes V_2) - N_1 V_2)) \\ \text{span}\{W_3\} &= \mathcal{K}_1(A_{2\sigma} E, A_{2\sigma}(A_2(V_2 \otimes V_2 + V_2 \otimes V_2))) \\ \text{span}\{W_4\} &= \mathcal{K}_1(A_{2\sigma} E, A_{2\sigma}(A_2(V_3 \otimes V_1 + V_1 \otimes V_3) - N_1 V_3)),\end{aligned}$$

mit $A_\sigma = (A_1 - \sigma E)^{-1}$ und $V_i = i$ te Spalte von V
 → Ableitungen bis zur Ordnung 5 (H_1) bzw. 2 (H_2) werden interpoliert.

Ansätze zur nichtlinearen Modellreduktion



Numerisches Beispiel

- FitzHugh-Nagumo System: Einfaches Modell für Neuronen-(de-)aktivierung.

$$\begin{aligned}\epsilon v_t(x, t) &= \epsilon^2 v_{xx}(x, t) + f(v(x, t)) - w(x, t) + g, \\ w_t(x, t) &= hv(x, t) - \gamma w(x, t) + g,\end{aligned}$$

mit $f(v) = v(v - 0.1)(1 - v)$ und Anfangs- und Randbedingungen

$$\begin{aligned}v(x, 0) &= 0, & w(x, 0) &= 0, & x &\in [0, 1] \\ v_x(0, t) &= -i_0(t), & v_x(1, t) &= 0, & t &\geq 0,\end{aligned}$$

wobei $\epsilon = 0.015$, $h = 0.5$, $\gamma = 2$, $g = 0.05$, $i_0(t) = 50000t^3 \exp(-15t)$

- Betrachte Parameter g als zusätzlichen Eingang.
- Dimension $n = 2 \cdot 400$, QBDAE Dimension $N = 3 \cdot 400$, reduzierte QBDAE Dimension $r = 26$.

[BENNER/BREITEN 2010]

Ansätze zur nichtlinearen Modellreduktion



Numerisches Beispiel

3d Phasenraum

[BENNER/BREITEN 2010]

Weitere Themen



- Modellreduktion:
 - Parametrische Systeme,
 - nichtlineare Systeme,
 - diskrete/stochastische Systeme,
 - Anwendungen in der Mikrosystemtechnik und Nanoelektronik, im Werkzeugmaschinenbau und der Fahrzeugtechnik.
- Numerische Lineare Algebra:
 - Eigenwertprobleme,
 - lineare und nichtlineare Matrixgleichungen,
 - hierarchische Matrizen und Tensoren,
 - Vorkonditionierung,
- Optimierung unter PDE-Beschränkungen,
- Parallele Algorithmen,
- Mathematische Software, z.B. SLICOT (siehe www.slicot.org).

Weitere Themen



- **Modellreduktion:**
 - Parametrische Systeme,
 - nichtlineare Systeme,
 - diskrete/stochastische Systeme,
 - Anwendungen in der Mikrosystemtechnik und Nanoelektronik, im Werkzeugmaschinenbau und der Fahrzeugtechnik.
- **Numerische Lineare Algebra:**
 - Eigenwertprobleme,
 - lineare und nichtlineare Matrixgleichungen,
 - hierarchische Matrizen und Tensoren,
 - Vorkonditionierung,
- Optimierung unter PDE-Beschränkungen,
- Parallele Algorithmen,
- Mathematische Software, z.B. SLICOT (siehe www.slicot.org).
Vertriebspartner SynOptio GmbH Berlin.